

Starkniederschlagshöhen und -spenden gemäß KOSTRA-DWD-2010R

Auswertungszeitraum von 1951 - 2010, Januar - Dezember

Rasterfeld: 24021

Zeile: 24

Spalte: 21

Seite: 1/2

| Dauerstufe D | Wiederkehrzeit T | | | | | | | | | | | | | | | | | | |
|--------------|------------------|------|------------|------|------------|------|------------|------|------------|------|------------|------|------------|------|------------|------|------------|------|------------|
| | 1 a | | 2 a | | 3 a | | 5 a | | 10 a | | 20 a | | 30 a | | 50 a | | 100 a | | |
| min | Std | mm | l / (s ha) | mm | l / (s ha) | mm | l / (s ha) | mm | l / (s ha) | mm | l / (s ha) | mm | l / (s ha) | mm | l / (s ha) | mm | l / (s ha) | mm | l / (s ha) |
| 5 | | 4,6 | 153,3 | 5,9 | 196,7 | 6,7 | 223,3 | 7,7 | 256,7 | 9,1 | 303,3 | 10,5 | 350,0 | 11,3 | 376,7 | 12,3 | 410,0 | 13,7 | 456,7 |
| 10 | | 7,2 | 120,0 | 9,1 | 151,7 | 10,2 | 170,0 | 11,6 | 193,3 | 13,4 | 223,3 | 15,3 | 255,0 | 16,4 | 273,3 | 17,8 | 296,7 | 19,6 | 326,7 |
| 15 | | 9,0 | 100,0 | 11,2 | 124,4 | 12,5 | 138,9 | 14,2 | 157,8 | 16,4 | 182,2 | 18,6 | 206,7 | 19,9 | 221,1 | 21,6 | 240,0 | 23,8 | 264,4 |
| 20 | | 10,3 | 85,8 | 12,8 | 106,7 | 14,3 | 119,2 | 16,1 | 134,2 | 18,6 | 155,0 | 21,2 | 176,7 | 22,7 | 189,2 | 24,5 | 204,2 | 27,0 | 225,0 |
| 30 | | 11,9 | 66,1 | 14,9 | 82,8 | 16,7 | 92,8 | 18,9 | 105,0 | 21,9 | 121,7 | 25,0 | 138,9 | 26,7 | 148,3 | 29,0 | 161,1 | 32,0 | 177,8 |
| 45 | | 13,3 | 49,3 | 17,0 | 63,0 | 19,1 | 70,7 | 21,7 | 80,4 | 25,3 | 93,7 | 28,9 | 107,0 | 31,0 | 114,8 | 33,7 | 124,8 | 37,3 | 138,1 |
| 60 | | 14,2 | 39,4 | 18,3 | 50,8 | 20,7 | 57,5 | 23,7 | 65,8 | 27,8 | 77,2 | 31,9 | 88,6 | 34,3 | 95,3 | 37,3 | 103,6 | 41,4 | 115,0 |
| 90 | | 15,8 | 29,3 | 20,1 | 37,2 | 22,6 | 41,9 | 25,8 | 47,8 | 30,2 | 55,9 | 34,5 | 63,9 | 37,1 | 68,7 | 40,3 | 74,6 | 44,6 | 82,6 |
| 120 | 2 | 17,0 | 23,6 | 21,5 | 29,9 | 24,1 | 33,5 | 27,5 | 38,2 | 32,0 | 44,4 | 36,6 | 50,8 | 39,2 | 54,4 | 42,6 | 59,2 | 47,1 | 65,4 |
| 180 | 3 | 18,8 | 17,4 | 23,6 | 21,9 | 26,4 | 24,4 | 30,0 | 27,8 | 34,8 | 32,2 | 39,7 | 36,8 | 42,5 | 39,4 | 46,0 | 42,6 | 50,8 | 47,0 |
| 240 | 4 | 20,2 | 14,0 | 25,3 | 17,6 | 28,2 | 19,6 | 31,9 | 22,2 | 37,0 | 25,7 | 42,0 | 29,2 | 44,9 | 31,2 | 48,7 | 33,8 | 53,7 | 37,3 |
| 360 | 6 | 22,5 | 10,4 | 27,8 | 12,9 | 30,9 | 14,3 | 34,9 | 16,2 | 40,2 | 18,6 | 45,6 | 21,1 | 48,7 | 22,5 | 52,6 | 24,4 | 58,0 | 26,9 |
| 540 | 9 | 24,9 | 7,7 | 30,6 | 9,4 | 33,9 | 10,5 | 38,1 | 11,8 | 43,8 | 13,5 | 49,5 | 15,3 | 52,8 | 16,3 | 57,0 | 17,6 | 62,7 | 19,4 |
| 720 | 12 | 26,8 | 6,2 | 32,7 | 7,6 | 36,2 | 8,4 | 40,6 | 9,4 | 46,5 | 10,8 | 52,4 | 12,1 | 55,9 | 12,9 | 60,3 | 14,0 | 66,2 | 15,3 |
| 1080 | 18 | 29,7 | 4,6 | 36,0 | 5,6 | 39,7 | 6,1 | 44,4 | 6,9 | 50,7 | 7,8 | 57,0 | 8,8 | 60,7 | 9,4 | 65,3 | 10,1 | 71,6 | 11,0 |
| 1440 | 24 | 32,0 | 3,7 | 38,6 | 4,5 | 42,4 | 4,9 | 47,3 | 5,5 | 53,8 | 6,2 | 60,4 | 7,0 | 64,3 | 7,4 | 69,1 | 8,0 | 75,7 | 8,8 |
| 2880 | 48 | 40,6 | 2,3 | 47,5 | 2,7 | 51,6 | 3,0 | 56,7 | 3,3 | 63,7 | 3,7 | 70,7 | 4,1 | 74,7 | 4,3 | 79,9 | 4,6 | 86,9 | 5,0 |
| 4320 | 72 | 46,6 | 1,8 | 53,8 | 2,1 | 58,0 | 2,2 | 63,3 | 2,4 | 70,5 | 2,7 | 77,7 | 3,0 | 81,9 | 3,2 | 87,2 | 3,4 | 94,4 | 3,6 |

Angaben in mm: Bemessungsniederschlagswerte h(n)

Angaben in l / (s ha): Regenspende R(n) mit $R(n) = h(n) \times 1,666667 / D[\text{min}]$

Toleranzbereiche:

+/- 10 % für $1 \text{ a} \leq T \leq 5 \text{ a}$

+/- 15 % für $5 \text{ a} < T \leq 50 \text{ a}$

+/- 20 % für $50 \text{ a} < T \leq 100 \text{ a}$

Datenbasis: KOSTRA-DWD-2010R des Deutschen Wetterdienstes. Die Regenspende wurde auf Basis des Bemessungsniederschlags zur jeweiligen Andauer berechnet.

Für die Richtigkeit und Aktualität der Angaben wird keine Gewähr übernommen. Erstellt 07/2022.

Starkniederschlagshöhen und -spenden gemäß KOSTRA-DWD-2010R

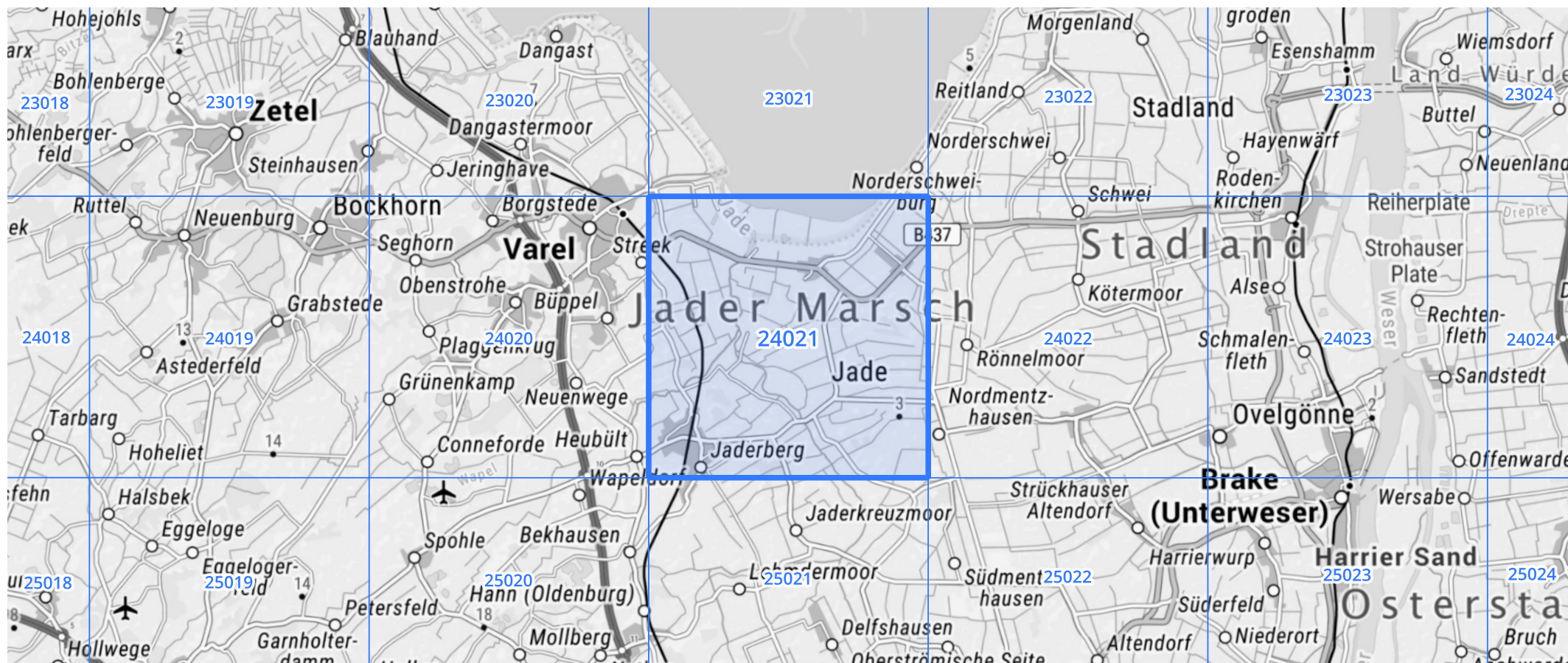
Auswertungszeitraum von 1951 - 2010, Januar - Dezember

Rasterfeld: 24021

Zeile: 24

Spalte: 21

Seite: 2/2



Quelle Rasterdaten: KOSTRA-DWD-2010R des Deutschen Wetterdienstes.

Kartendarstellung: © Bundesamt für Kartographie und Geodäsie (2022), Datenquellen: https://sgx.geodatenzentrum.de/web_public/gdz/datenquellen/Datenquellen_TopPlusOpen.html

Für die Richtigkeit und Aktualität der Angaben wird keine Gewähr übernommen. Erstellt 07/2022.